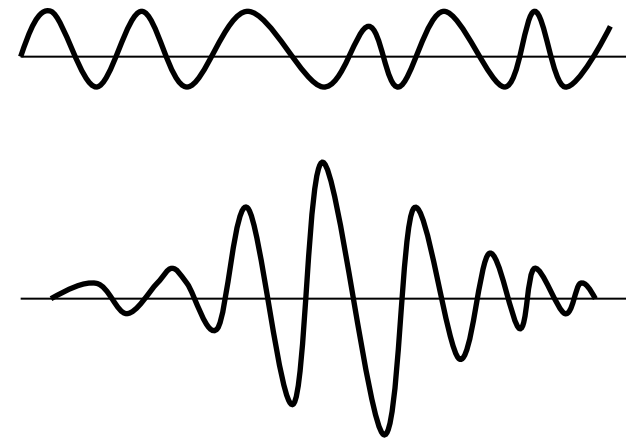
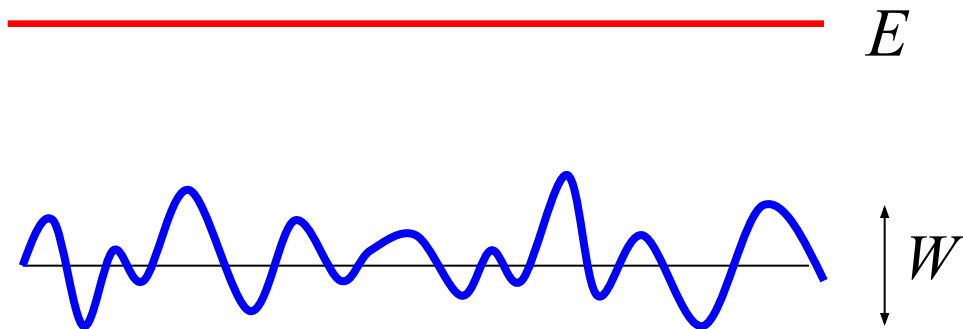


Переход Андерсона: теория и численный эксперимент

И.М.Суслов

Институт физических проблем им. П.Л.
Капицы РАН

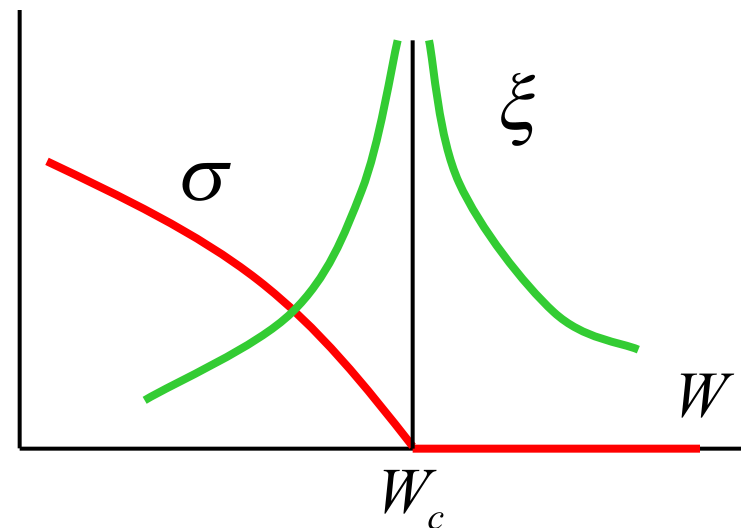
Переход Андерсона



$$\sigma \sim \tau^s$$

$$\xi \sim |\tau|^{-\nu}$$

$$\tau \propto W_c - W$$



Современная ситуация:

Численный счет противоречит всей прочей информации о критическом поведении

I. M. Suslov, cond-mat/0105325.

P. Markos,

Numerical analysis of the Anderson localization

acta physica slovacca 56, 561 (2006);

cond-mat/0609580.

Самосогласованная теория Вольхардта-Вольфле дает результат

$$\nu = \begin{cases} 1/(d-2), & 2 < d < 4 \\ 1/2, & d > 4 \end{cases}, \quad s = 1, \quad 2 < d < \infty$$

который:

(а) выделяет значения $d_{c1}=2$ и $d_{c2}=4$ как верхнюю и нижнюю критические размерности;

(б) согласуется с результатом для $d=2+\epsilon$

$$\nu = \frac{1}{\epsilon} + 0 \cdot \epsilon^0 + 0 \cdot \epsilon^1 + O(\epsilon^2);$$

(в) удовлетворяет скейлинговому соотношению $s=\nu(d-2)$ для $d < d_{c2}$;

(г) дает независимые от d индексы для $d > d_{c2}$;

(д) согласуется с результатами $s=1$ и $\nu=1/2$ для $d=\infty$.

(е) согласуется с экспериментальными результатами $s \approx 1$ и $\nu \approx 1$ для $d=3$.

Гипотеза о том, что результаты теории Вольхардта-Вольфле являются точными:

H. Kunz, R. Souillard, J. de Phys. Lett. **44**, L506 (1983).

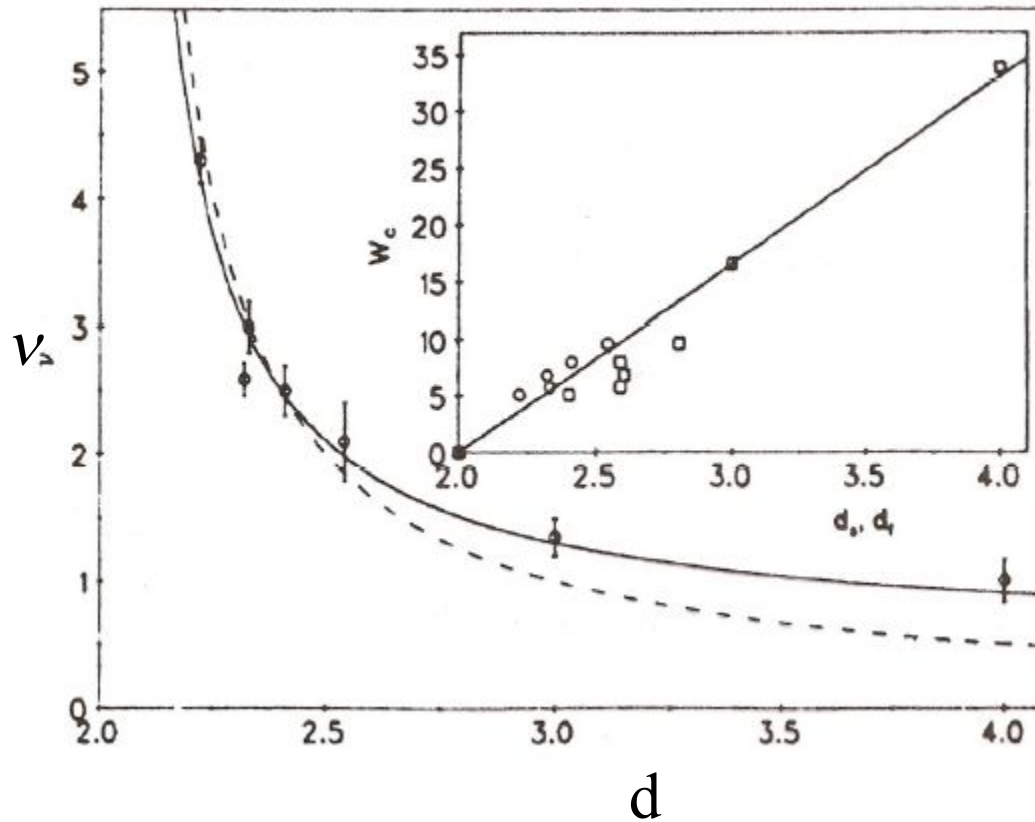
Вывод без грубых аппроксимаций:

И. М. Суслов, ЖЭТФ **108**, 1686 (1995).

Численные результаты описываются эмпирической формулой

$$\nu = \frac{0.8}{d-2} + 0.5$$

M. Schreiber, H. Grussbach,
Phys. Rev. Lett. **76**, 1687 (1996).



Другие результаты
для $d=3$:

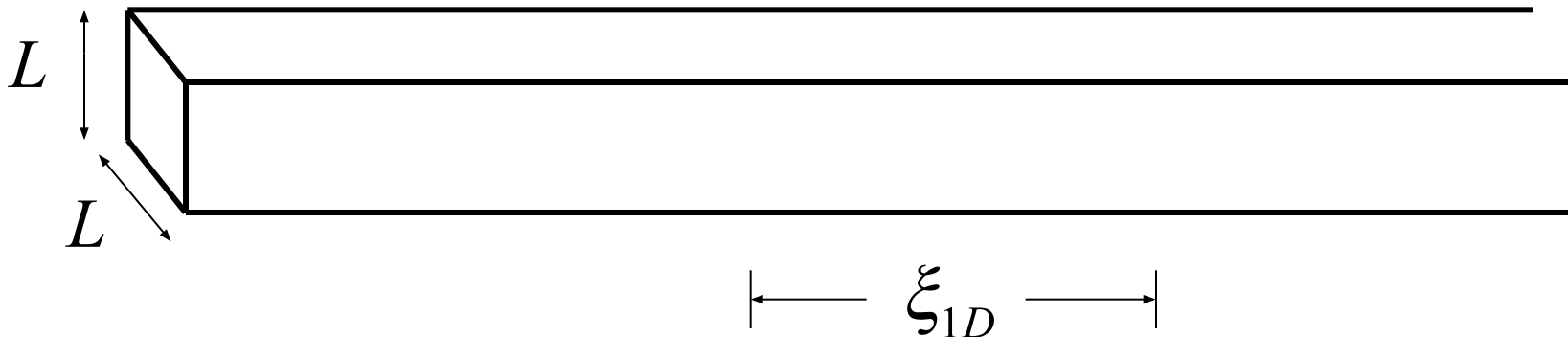
$$\nu = 1.54 \pm 0.08$$

$$\nu = 1.45 \pm 0.08$$

$$\nu = 1.40 \pm 0.15$$

$$\nu = 1.57 \pm 0.02$$

Finite-size scaling

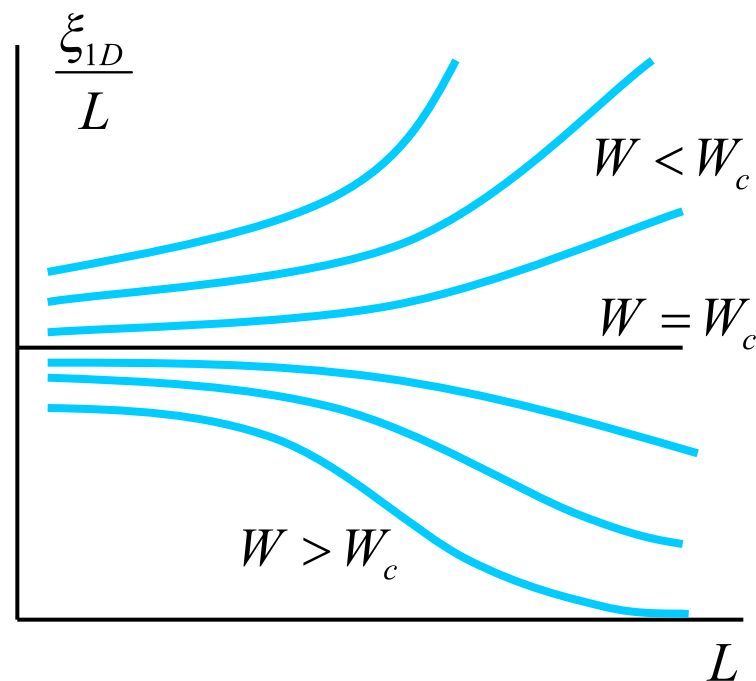


$$\frac{\xi_{1D}}{L} \rightarrow \infty \quad (\text{дальный порядок})$$

$$\frac{\xi_{1D}}{L} \rightarrow 0 \quad (\text{ближний порядок})$$

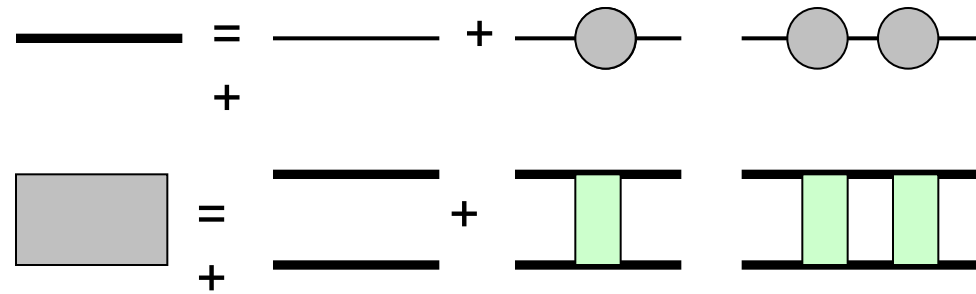
Скейлинговое соотношение

$$\frac{\xi_{1D}}{L} = F\left(\frac{L}{\xi}\right)$$



Теория Вольхардта-Вольфле

Основана на существовании
диффузионного полюса
в неприводимой
четырёххвостке



$$U_{\mathbf{k}\mathbf{k}'}(\mathbf{q}) = U_{\mathbf{k}\mathbf{k}'}^{reg}(\mathbf{q}) + \frac{F(\mathbf{k}, \mathbf{k}', \mathbf{q})}{-i\omega + D(\omega, \mathbf{k} + \mathbf{k}')(\mathbf{k} + \mathbf{k}')^2}$$

играющей роль вероятности перехода $W_{\mathbf{k}\mathbf{k}'}$ в квантовом кинетическом уравнении.

Аппроксимация типа τ - приближения $D \sim \langle U \rangle^{-1}$ дает уравнение самосогласования

$$D \sim \left[U_0 + F_0 \int \frac{d^d q}{-i\omega + D(\omega, q)q^2} \right]^{-1}$$

Уравнение самосогласования

$$\frac{E^2}{W^2} = \frac{D}{D_{\min}} + \Lambda^{2-d} \int_{|q|<\Lambda} \frac{d^d q}{(2\pi)^d} \frac{1}{(-i\omega/D) + q^2}$$

Базовый интеграл

$$I(m) = \int_{|q|<\Lambda} \frac{d^d q}{(2\pi)^d} \frac{1}{m^2 + q^2}$$

конечен при $m=0$ только для $d>2$.

Металлическая фаза: $D=\text{const}$ при $\omega \rightarrow 0$

$$D = D_{\min} \left(\frac{E^2}{W^2} - I(0) \Lambda^{2-d} \right) = D_{\min} \tau$$

т.е. $s=1$.

Уравнение самосогласования

$$\frac{E^2}{W^2} = \frac{D}{D_{min}} + \Lambda^{2-d} \int_{|q|<\Lambda} \frac{d^d q}{(2\pi)^d} \frac{1}{(-i\omega/D) + q^2}$$

Диэлектрическая фаза: $D = -i\omega \xi^2$ при $\omega \rightarrow 0$ ($m = \xi^{-1}$)

$$I(m) = \int_{|q|<\Lambda} \frac{d^d q}{(2\pi)^d} \frac{1}{m^2 + q^2} = \begin{cases} c_d/m^{2-d}, & d < 2 \\ c_2 \ln(\Lambda/m), & d = 2 \\ I(0) - c_d m^{d-2}, & 2 < d < 4 \\ I(0) - c_4 m^2 \ln(\Lambda/m), & d = 4 \\ I(0) - c_d m^2 \Lambda^{d-4}, & d > 4 \end{cases}$$

$$\xi \sim a \frac{E^2}{W^2}, \quad d = 1$$

$$\xi \sim a \exp\left(2\pi \frac{E^2}{W^2}\right), \quad d = 2$$

$$\xi \sim a |\tau|^{-\nu}, \quad d > 2$$

Квазиодномерные системы

Для описания квазиодномерных систем базовый интеграл достаточно представить в виде $(q_{\perp} = (q_1, q_2, \dots, q_{d-1}), \quad q_{\parallel} = q_d)$

:

$$I(m) = \frac{1}{L^{d-1}} \sum_{|q_{\perp}| < \Lambda} \int_{-\Lambda}^{\Lambda} \frac{dq_{\parallel}}{2\pi} \frac{1}{m^2 + q_{\parallel}^2 + q_{\perp}^2}, \quad m^{-1} = \xi_{1D}$$

$$q_{\perp} = 0$$

Член с $q_{\perp} = 0$ расходится при $m \rightarrow 0$.

Разбиение интеграла

$$I(m) = \frac{1}{L^{d-1}} \frac{1}{\pi m} \operatorname{arctg} \frac{\Lambda}{m} +$$

$$+ \frac{1}{\pi L^{d-1}} \sum_{\substack{q_{\perp} \neq 0 \\ |q_{\perp}| < \Lambda}} \left(\frac{1}{\sqrt{m^2 + q_{\perp}^2}} \operatorname{arctg} \frac{\Lambda}{\sqrt{m^2 + q_{\perp}^2}} - \frac{1}{|q_{\perp}|} \operatorname{arctg} \frac{\Lambda}{|q_{\perp}|} \right) +$$

$$+ \frac{1}{\pi L^{d-1}} \sum_{\substack{q_{\perp} \neq 0 \\ |q_{\perp}| < \Lambda}} \frac{1}{|q_{\perp}|} \operatorname{arctg} \frac{\Lambda}{|q_{\perp}|} \equiv I_1(m) + I_2(m) + I_3(0)$$

Преобразование интегралов:

$$I_1(m) = \frac{1}{L^{d-2}} \left\{ \frac{1}{2mL} + O\left(\frac{a}{L}\right) \right\}$$

$$I_2(m) = \frac{1}{L^{d-2}} H_0(mL) + O(m^2 \Lambda^{d-4})$$

$$H_0(z) = \frac{1}{4\pi} \sum_{\vec{s} \neq 0} \left(\frac{1}{\sqrt{|\vec{s}|^2 + (z/2\pi)^2}} - \frac{1}{|\vec{s}|} \right)$$

$$I_3(0) = \Lambda^{d-2} \left\{ b_0 + b_1 \left(\frac{a}{L}\right)^{d-2} + b_2 \left(\frac{a}{L}\right)^{d-1} + \dots \right\}$$

что надо подставить в уравнение самосогласования

$$\Lambda^{d-2} \frac{E^2}{W^2} = I(m)$$

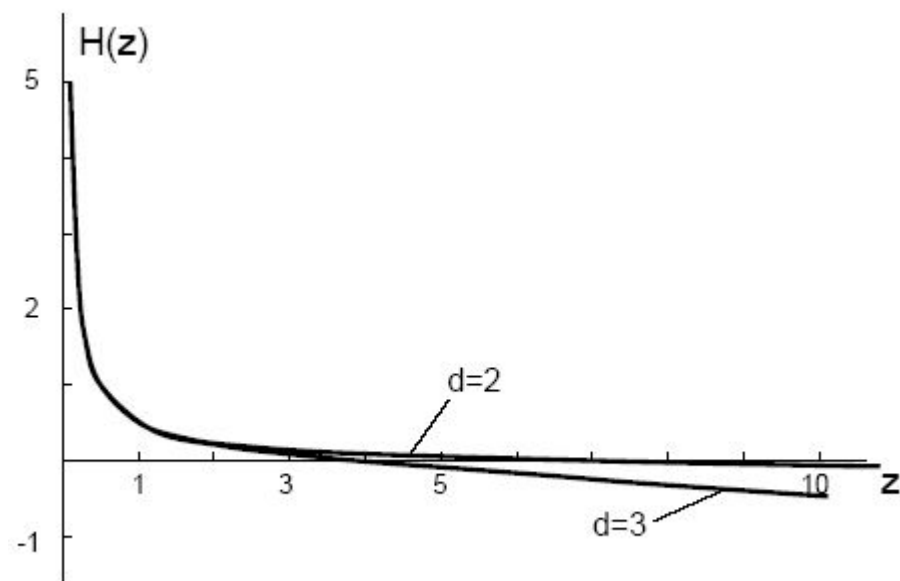
Уравнение самосогласования

$$\left(\frac{L}{a}\right)^{d-2} \left[\tau + O(m^2 a^2) \right] + O\left(\frac{a}{L}\right) = b_1 + H_0(mL) + \frac{1}{2mL}$$

в пределе $a \rightarrow 0$ дает скейлинговые соотношения

$$\pm c_d \left(\frac{L}{\xi}\right)^{d-2} = H\left(\frac{L}{\xi_{1D}}\right), \quad d > 2$$

$$\frac{1}{2\pi} \ln\left(\frac{\xi}{L}\right) = H\left(\frac{L}{\xi_{1D}}\right), \quad d = 2$$



Определение функции $H(z)$:

$$H(z) = b_1 + \frac{1}{4\pi} \sum_{\vec{s} \neq 0} \left(\frac{1}{\sqrt{|\vec{s}|^2 + (z/2\pi)^2}} - \frac{1}{|\vec{s}|} \right) + \frac{1}{2z} \quad s_i = 0, \pm 1, \pm 2, \dots$$

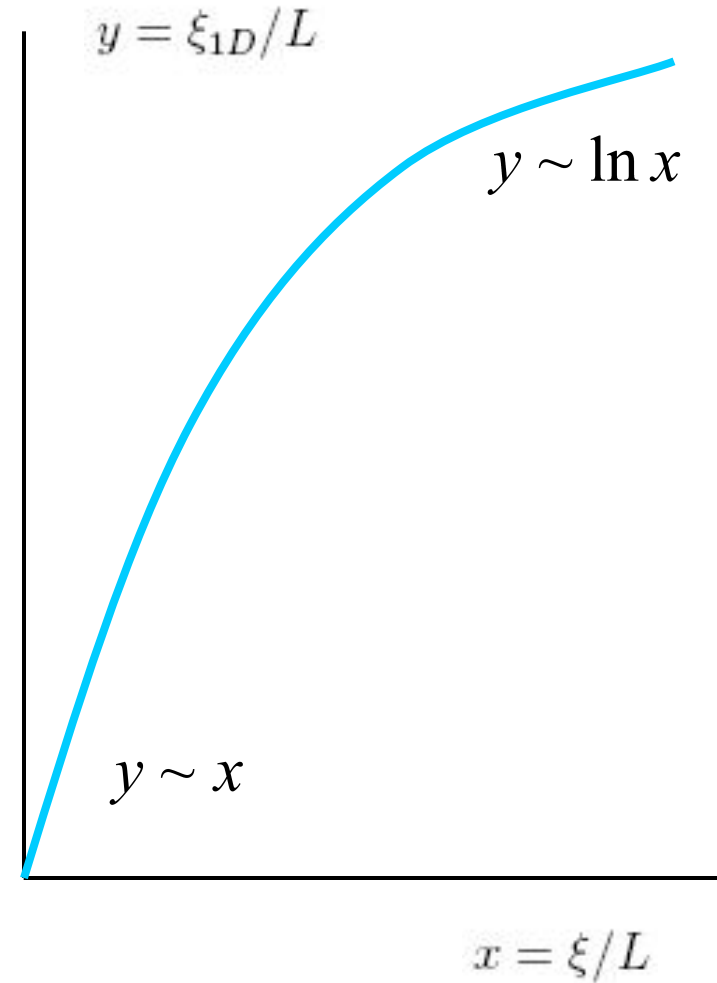
Двумерный случай

Используя асимптотики

$$H(z) = \begin{cases} \frac{1}{2z}, & z \ll 1 \\ -\frac{1}{2\pi} \ln z + \text{const}, & z \gg 1 \end{cases}$$

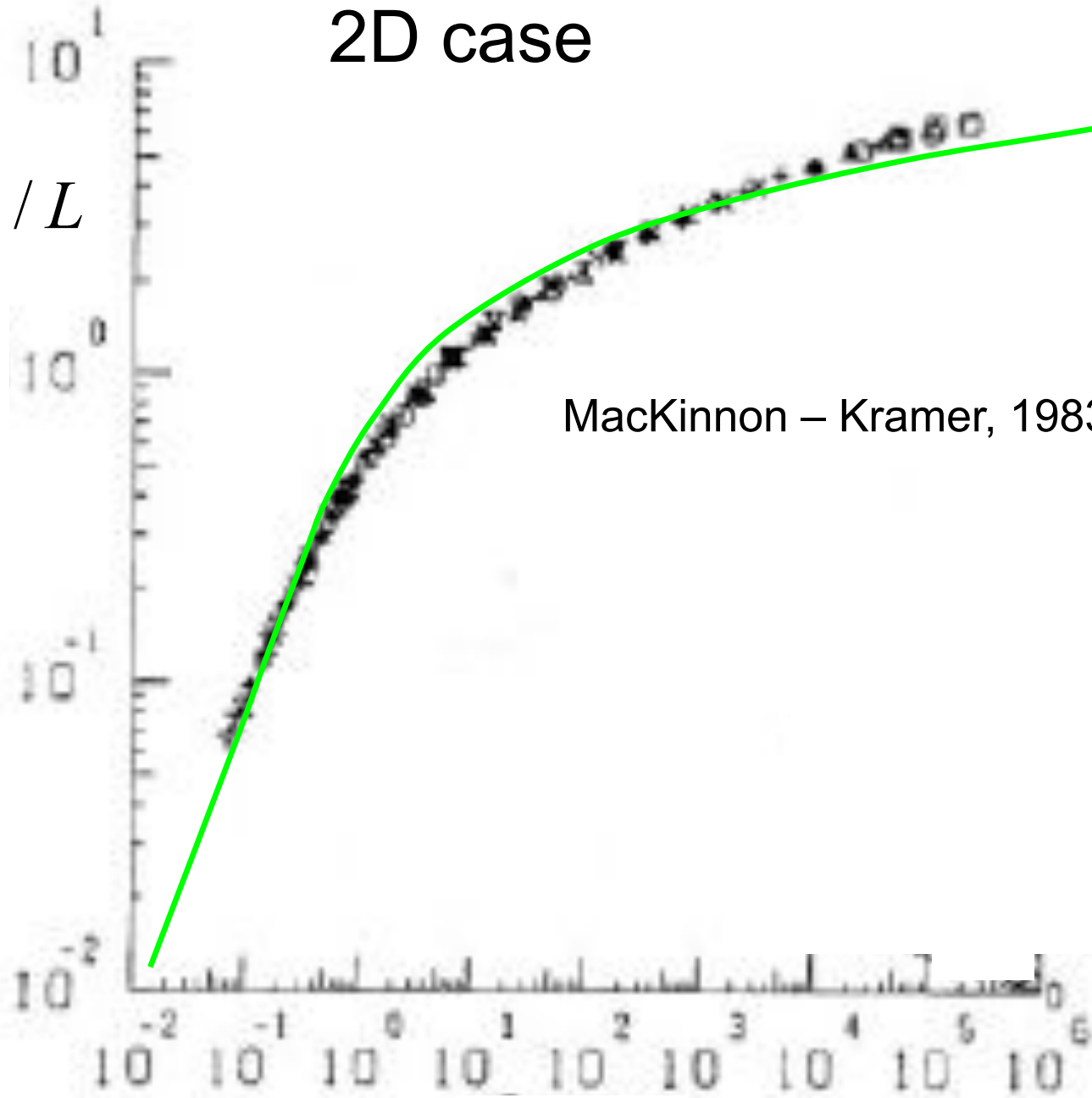
имеем в переменных $y = \xi_{1D}/L$
и $x = \xi/L$

$$y = \begin{cases} (1/\pi) \ln x, & x \gg 1 \\ \text{const} \cdot x, & x \ll 1 \end{cases}$$



2D case

ξ_{1D} / L

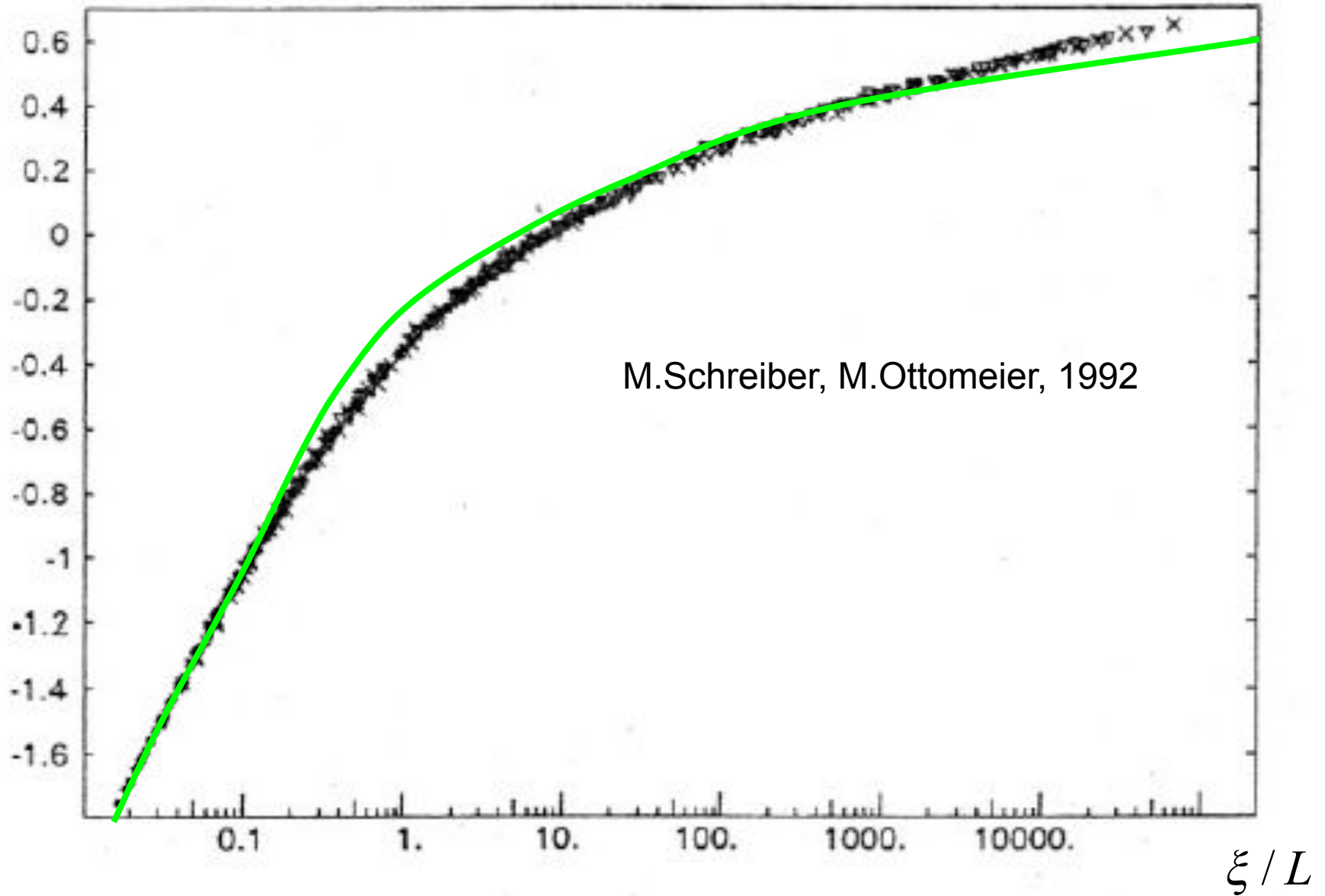


MacKinnon – Kramer, 1983

ξ / L

2D case

$\log_{10} \xi_{1D} / L$



Трёхмерный случай

Используя асимптотики

$$H(z) = \begin{cases} 1/2z, & z \ll 1 \\ -A(z - z^*), & z \rightarrow z^* \\ -c_d z^{d-2}, & z \gg 1 \end{cases}$$

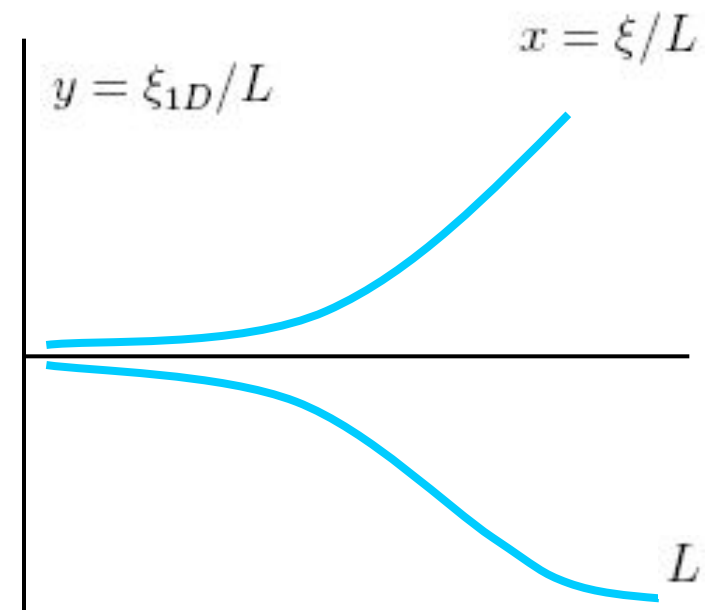
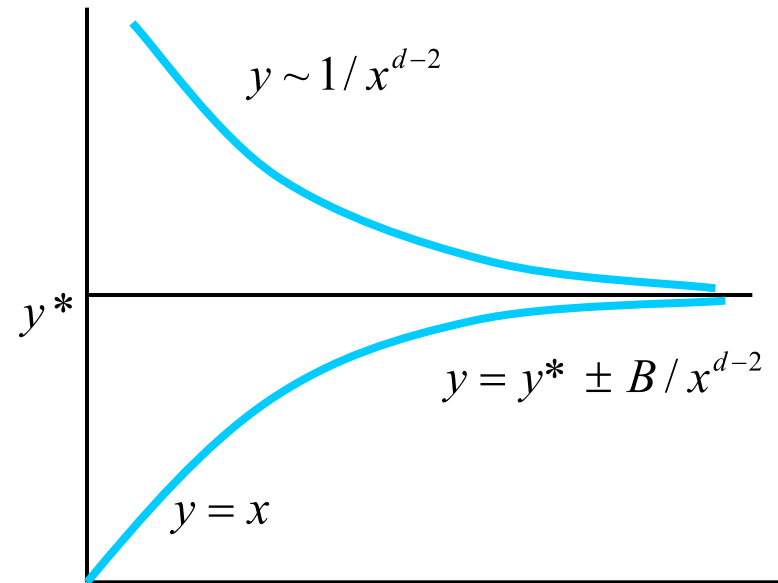
имеем в переменных $y = \xi_{1D}/L$
и $x = \xi/L$

$$y = \begin{cases} 2c_d/x^{d-2}, & y \gg 1 \\ y^* \pm B/x^{d-2}, & y \rightarrow y^* \\ x, & y \ll 1 \end{cases}$$

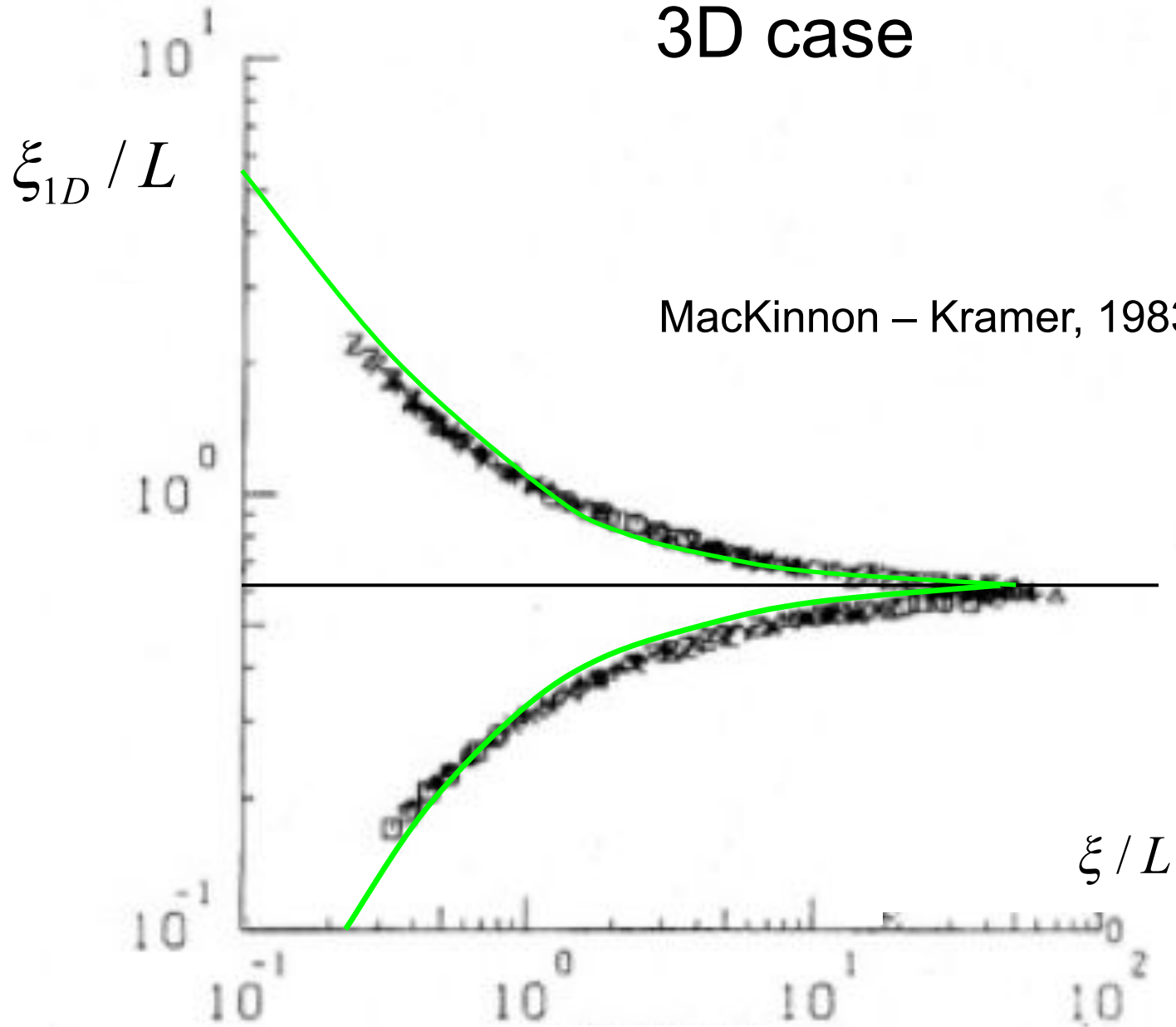
или для зависимостей от L

$$y = \frac{\xi_{1D}}{L} = \begin{cases} \sim \tau L^{d-2}, & y \gg 1 \\ y^* + const \cdot \tau L^{d-2}, & y \rightarrow y^* \\ \xi/L, & y \ll 1 \end{cases}$$

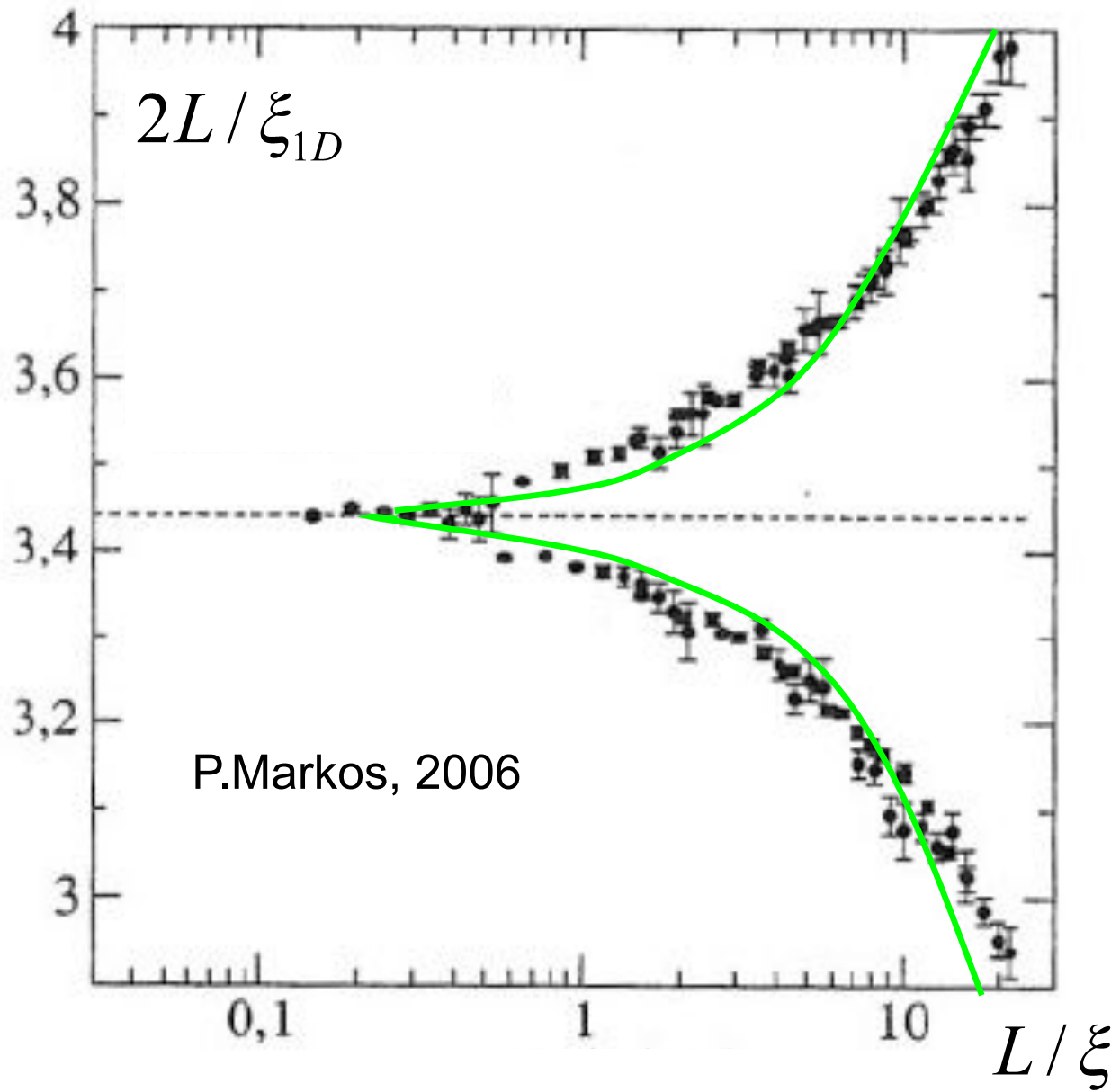
$$y = \xi_{1D}/L$$



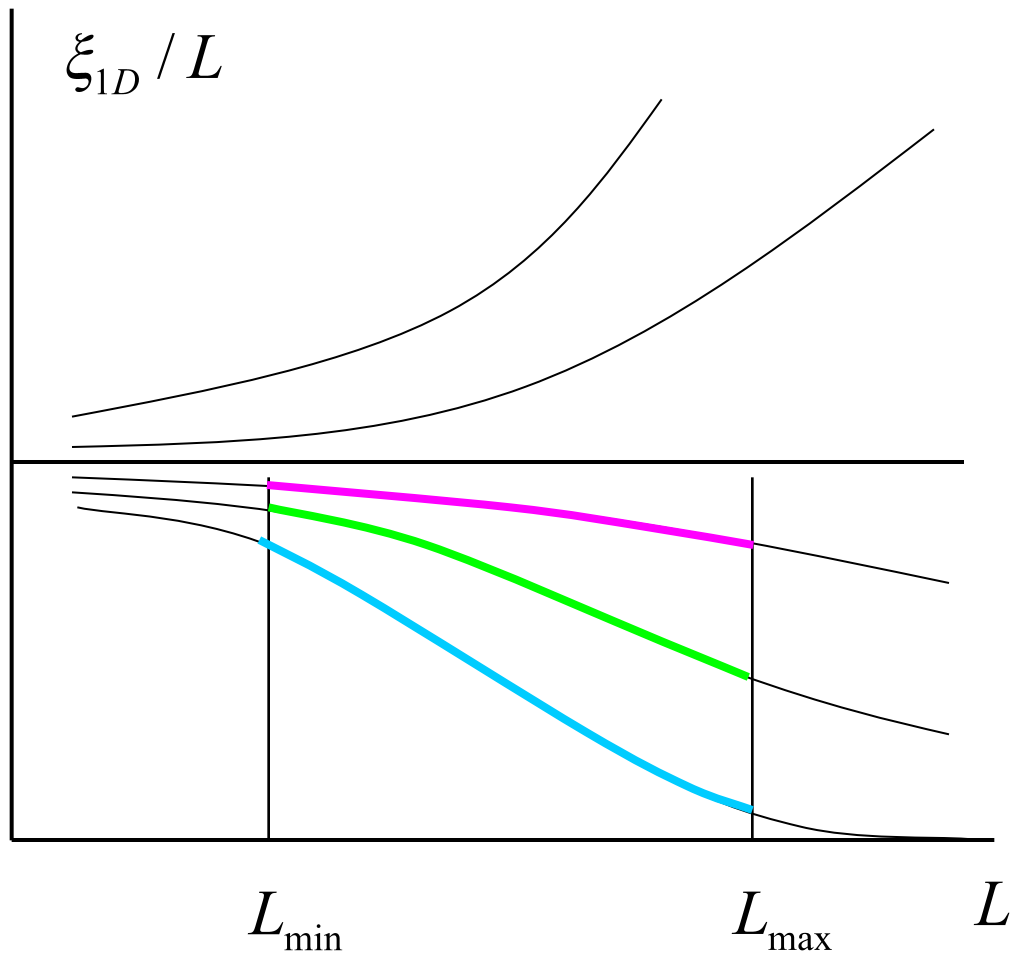
3D case



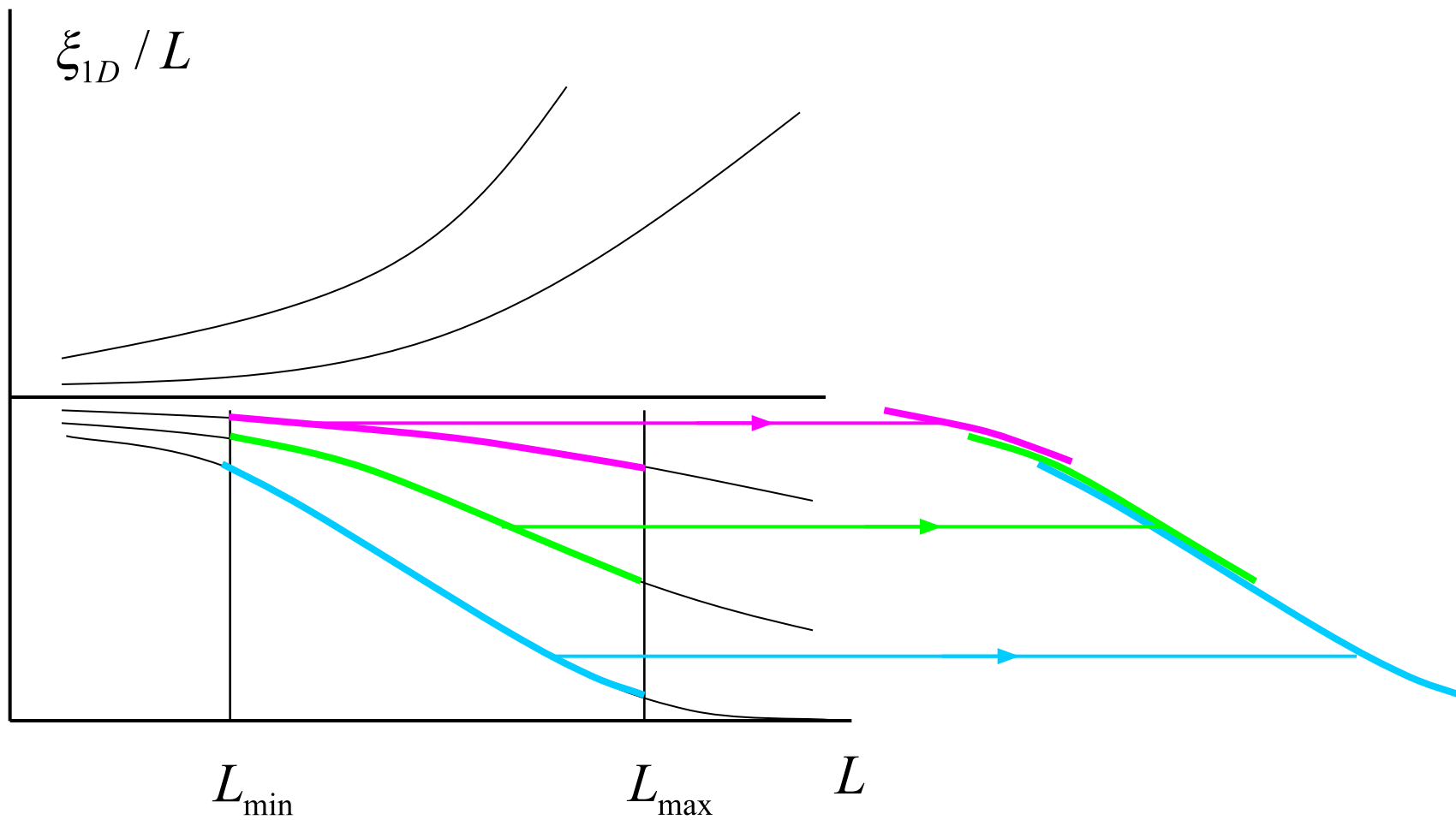
3D case



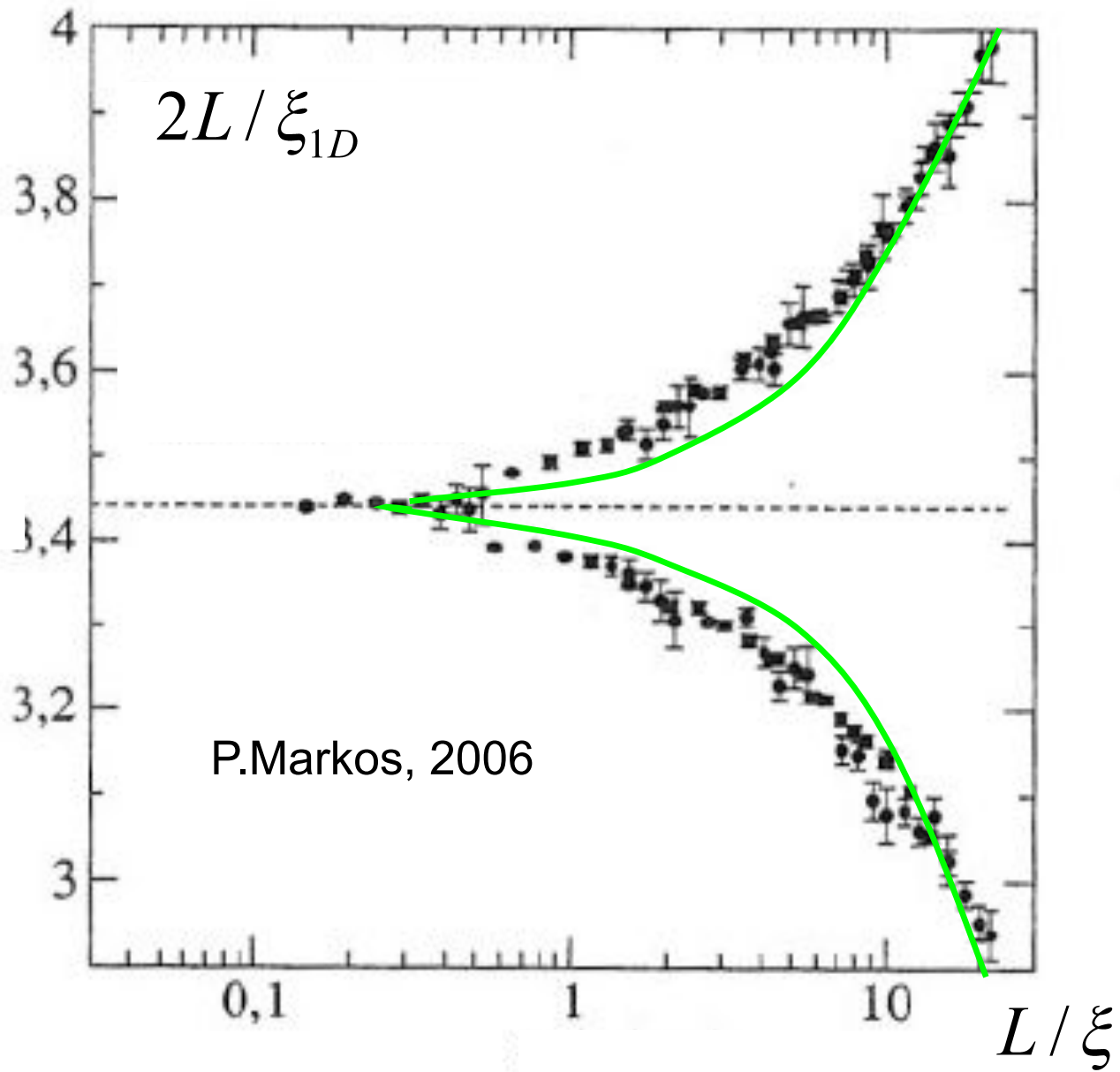
Построение скейлинговых кривых



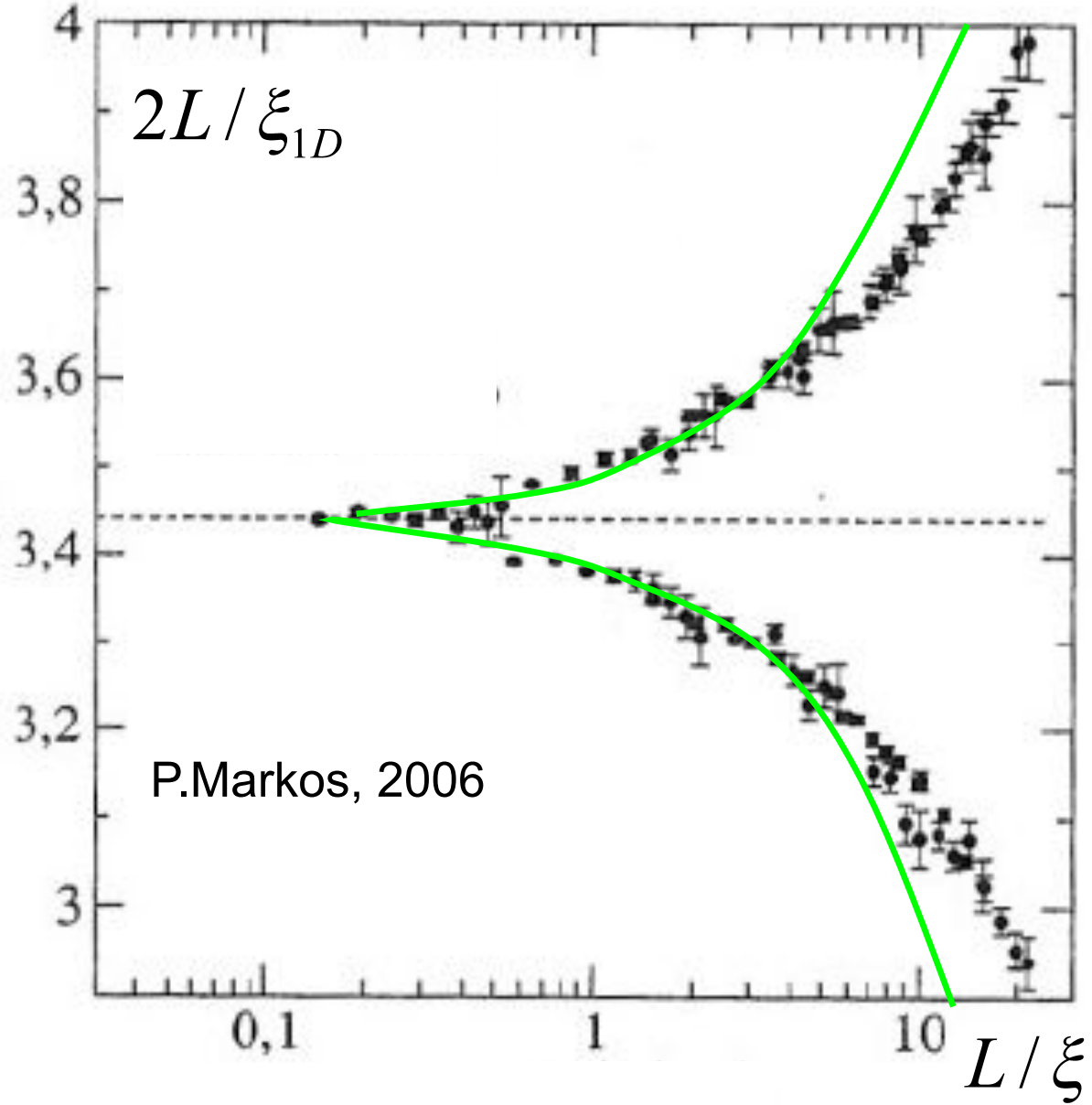
Построение скейлинговых кривых



3D case



3D case



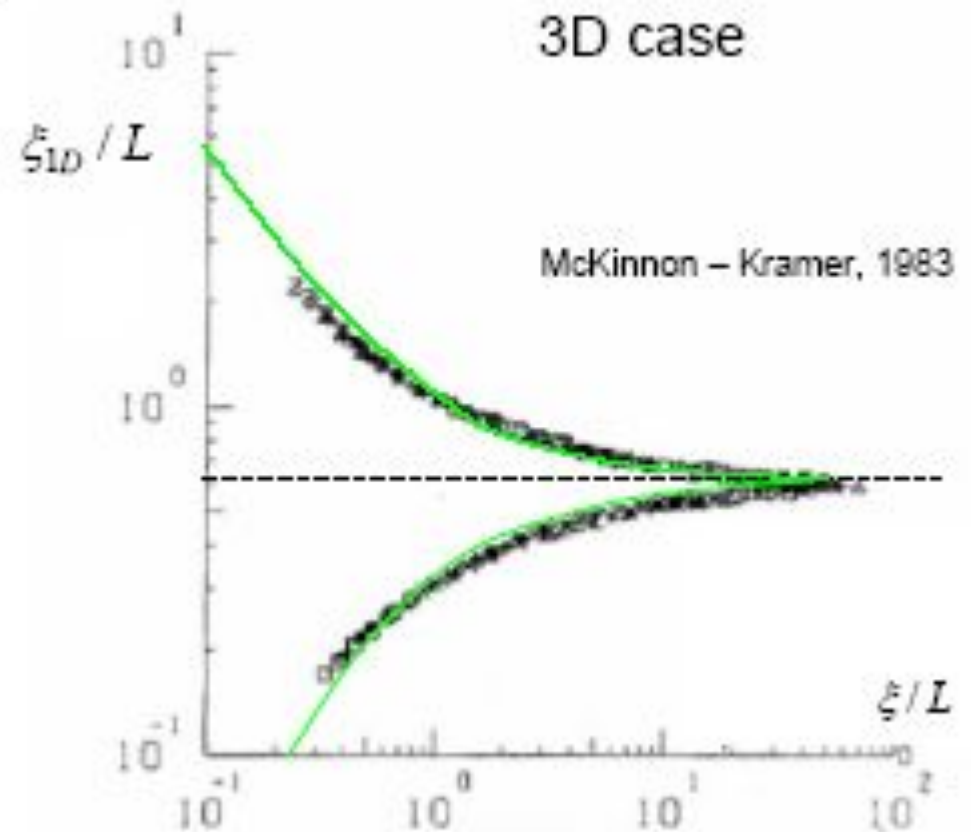
Почему численные эксперименты всегда дают $\nu > 1$?

A. MacKinnon, B. Kramer,
Phys. Rev. Lett. **47**, 1546 (1981).

$$\nu = 1.2 \pm 0.3$$

A. MacKinnon, B. Kramer,
Z. Phys. **53**, 1 (1983).

$$\nu = 1.50 \pm 0.05$$



Ситуация в окрестности перехода

Стандартные представления:

$$\frac{\xi_{1D}}{L} = F\left(\frac{L^{1/\nu}}{\xi^{1/\nu}}\right) = F(\tau L^{1/\nu}) \approx A_0 + A_1 \tau L^{1/\nu} + \dots$$

На самом деле:

$$\frac{\xi_{1D}}{L} = y^* + A \left(\frac{L}{a}\right)^{d-2} \left[\tau - b_d \frac{a^2}{\xi_{1D}^2} \right] + O\left(\frac{a}{L}\right)$$

$$\left(\frac{\xi_{1D}}{L}\right)'_{\tau} = A_0 L^{d-2} + A_1 L^{d-6}$$

В общем случае:

$$\frac{\xi_{1D}}{L} = y^* + \tau \left\{ A_0 L^{1/\nu} + A_1 L^{\omega_1} + A_2 L^{\omega_2} + \dots \right\} + B_1 L^{-y_1} + B_2 L^{-y_2} + \dots$$

В теории Вольхардта – Вольфле при $d=3$:

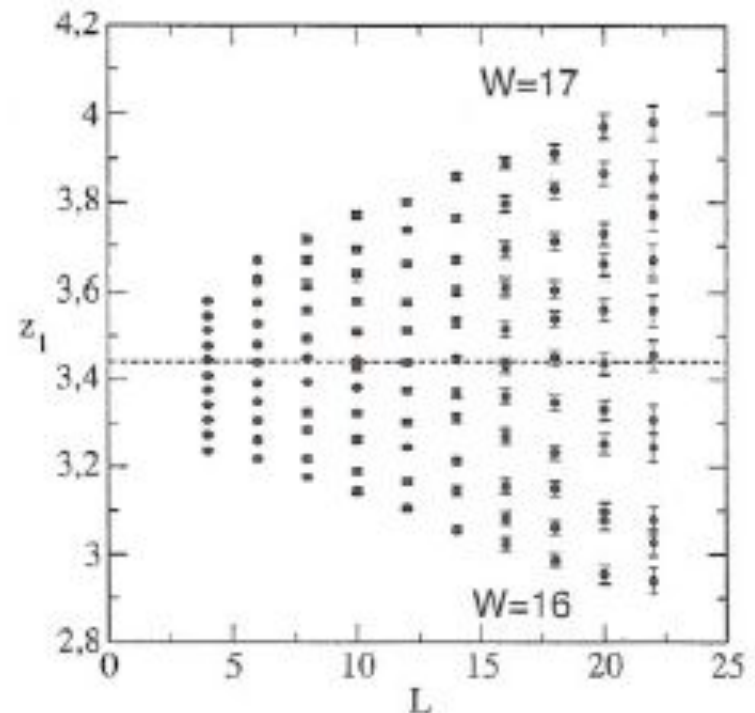
$$\frac{\xi_{1D}}{L} - y^* = A\tau (L + L_0)$$

(с точностью до членов, исчезающих при $L \rightarrow \infty$).

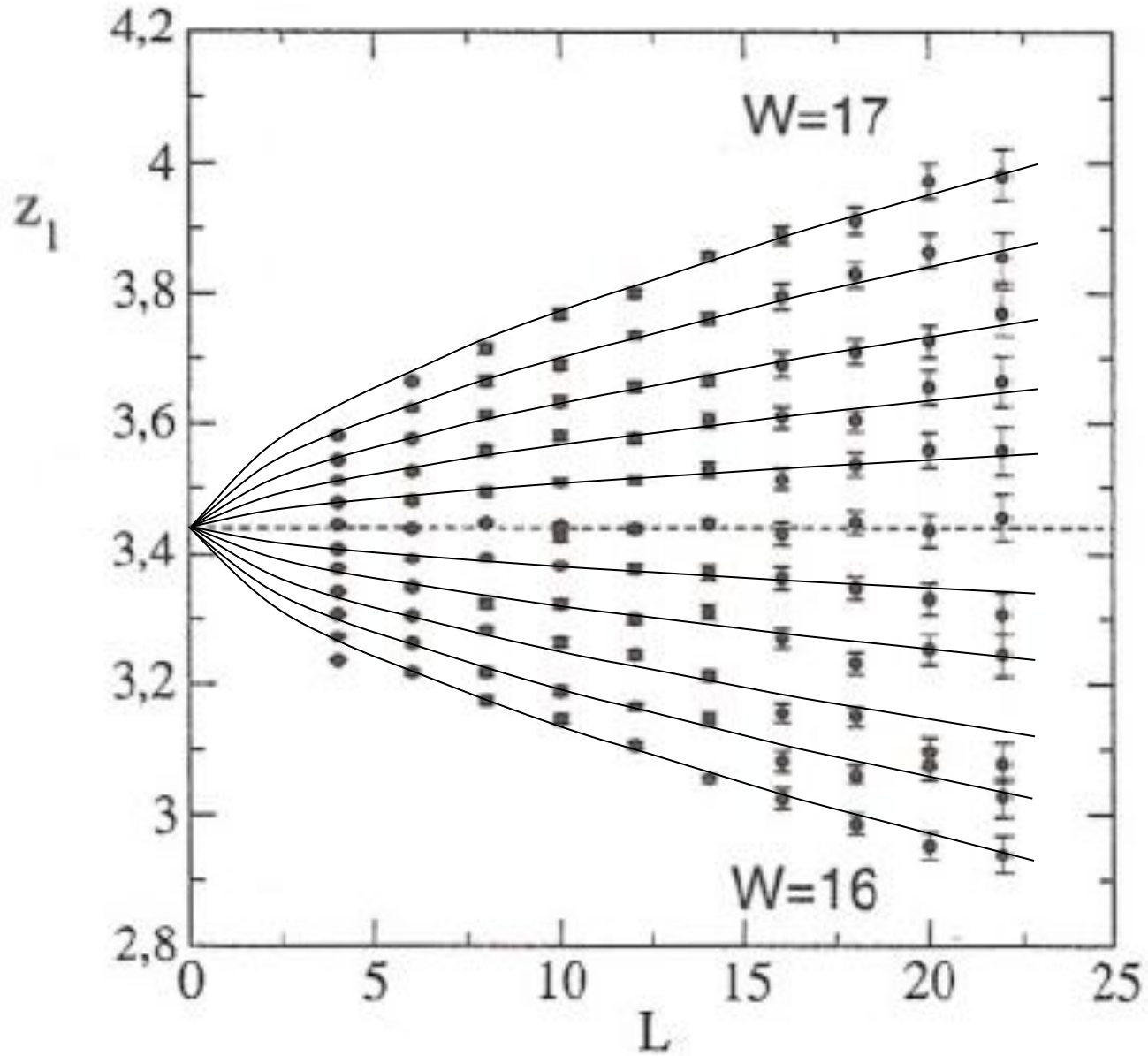
Вместо стандартного

$$\frac{\xi_{1D}}{L} - y^* = A\tau L^{1/\nu}$$

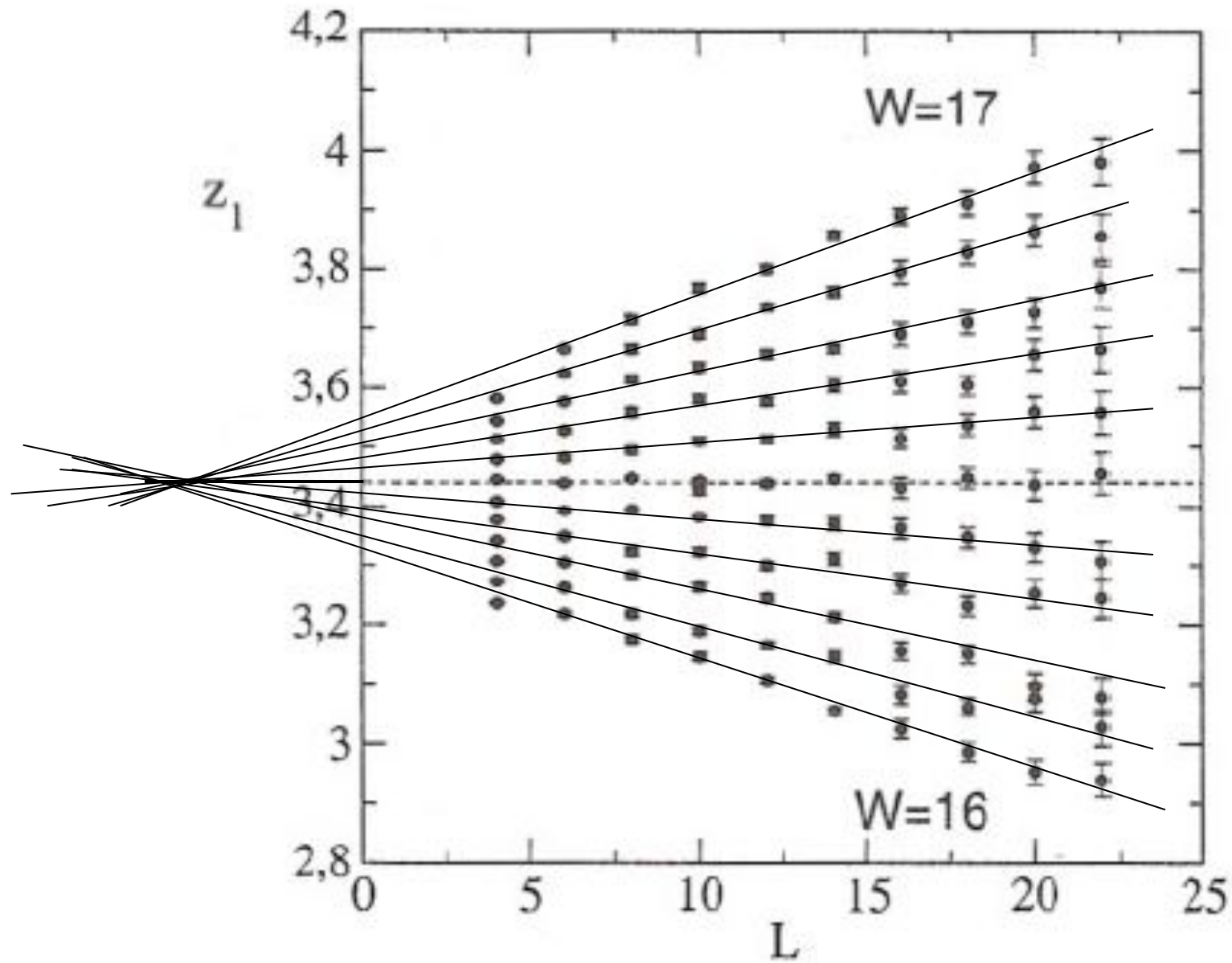
P.Markos, 2006



Fitting by $cL^{0.63}$



Fitting by $c(L+L_0)$



$L_0 \approx 5$

Скейлинг для высших размерностей

Меняется ситуация с интегралом

$$I_2(m) = \frac{1}{\pi L^{d-1}} \sum_{\substack{q_{\perp} \neq 0 \\ |q_{\perp}| < \Lambda}} \left(\frac{1}{\sqrt{m^2 + q_{\perp}^2}} \operatorname{arctg} \frac{\Lambda}{\sqrt{m^2 + q_{\perp}^2}} - \frac{1}{|q_{\perp}|} \operatorname{arctg} \frac{\Lambda}{|q_{\perp}|} \right)$$

Теперь нельзя устремлять $\Lambda \rightarrow \infty$, но зато есть сходимость на нижнем пределе

$$I_2(m) = \begin{cases} -cm^2 \Lambda^{d-4} + O(m^{d-4}), & m \geq L^{-1} \\ -cm^2 \Lambda^{d-4} + O(L^{4-d}), & m \leq L^{-1} \end{cases}$$

так что вычисление возможно аналитически при произвольных значениях mL .

d>4

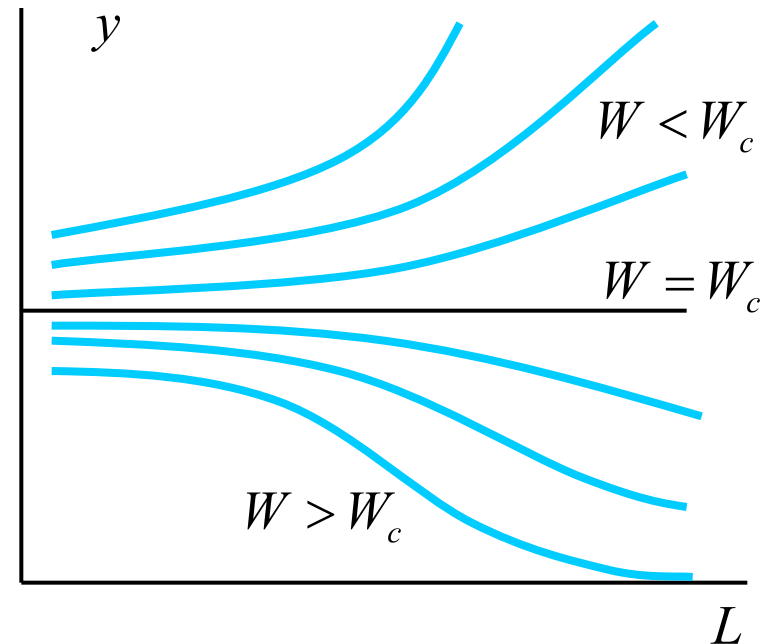
Получается скейлинговое соотношение

$$\pm \frac{1}{x^2} = y - \frac{1}{y^2}$$

в переменных

$$y = \frac{\xi_{1D}}{L} \left(\frac{a}{L} \right)^{(d-4)/3}$$

$$x = \frac{\xi}{L} \left(\frac{a}{L} \right)^{(d-4)/3}$$



d=4

Получается скейлинговое соотношение

$$\pm \frac{1}{x^2} = y - \frac{1}{y^2}$$

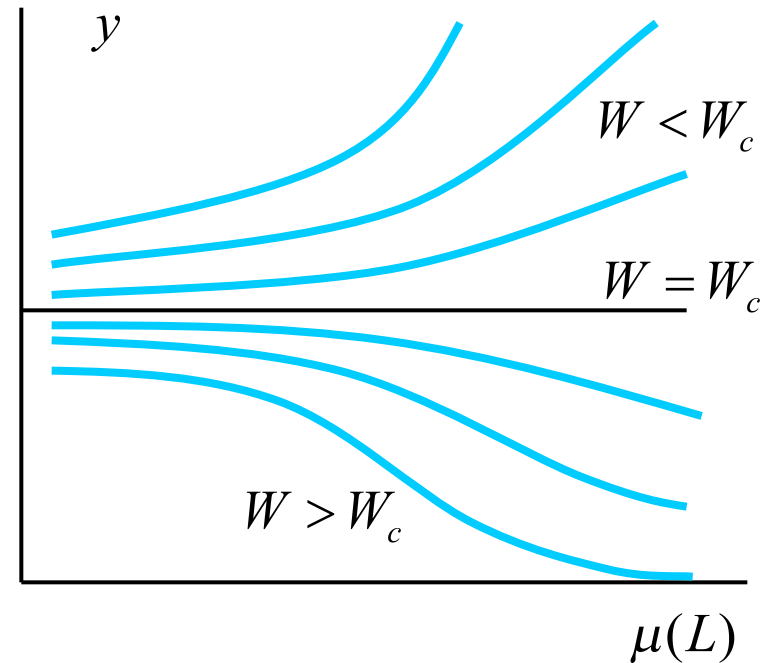
в переменных

$$y = \frac{\xi_{1D}}{L} [\ln(L/a)]^{-1/3}$$

$$x = \frac{\xi}{[\ln(\xi/a)]^{1/2}} \frac{[\ln(L/a)]^{1/6}}{L}$$

Возникает «модифицированная длина»

$$\mu(L) = L [\ln(L/a)]^{-1/6}$$



$$d = 4 - \varepsilon$$

Получается скейлинговое соотношение

$$\pm \frac{1}{x^2} = y - \frac{1}{y^2}$$

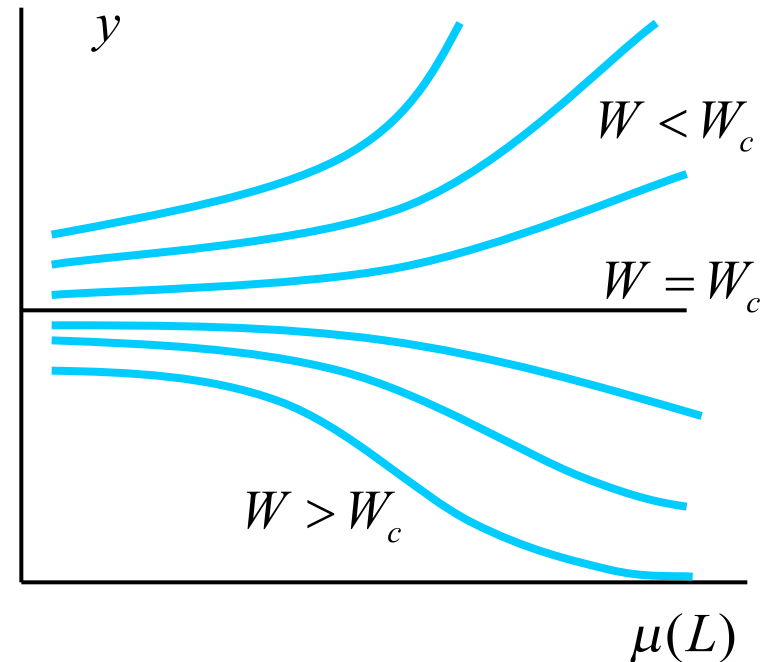
в переменных

$$y = \frac{\xi_{1D}}{L} \left[\frac{\varepsilon}{1 - (L/a)^{-\varepsilon}} \right]^{1/3}$$

$$x = \frac{\varepsilon^{1/3} (\xi/a)}{[(\xi/a)^\varepsilon - 1]^{1/2}} \frac{[1 - (L/a)^{-\varepsilon}]^{1/6}}{(L/a)^{1-\varepsilon/2}}$$

Возникает «модифицированная длина»

$$\mu(L) = L^{1-\varepsilon/2} [1 - (L/a)^{-\varepsilon}]^{-1/6}$$



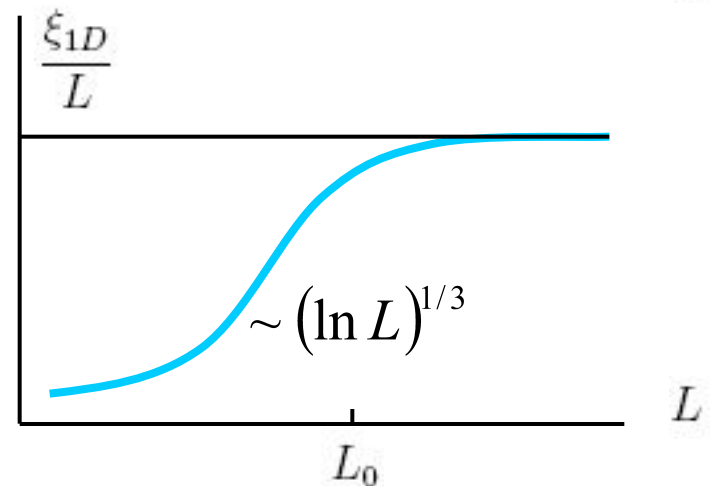
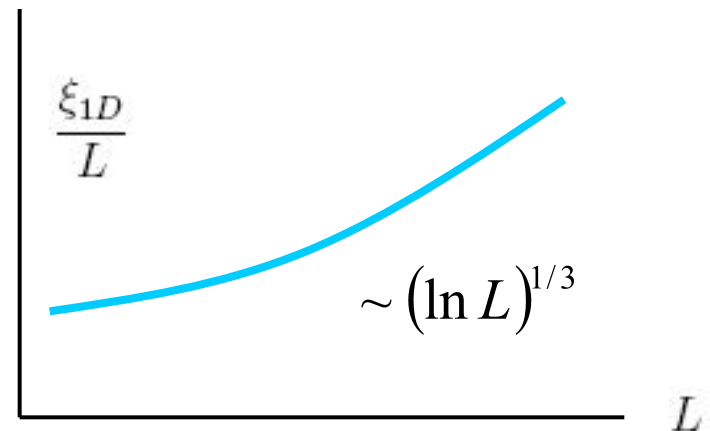
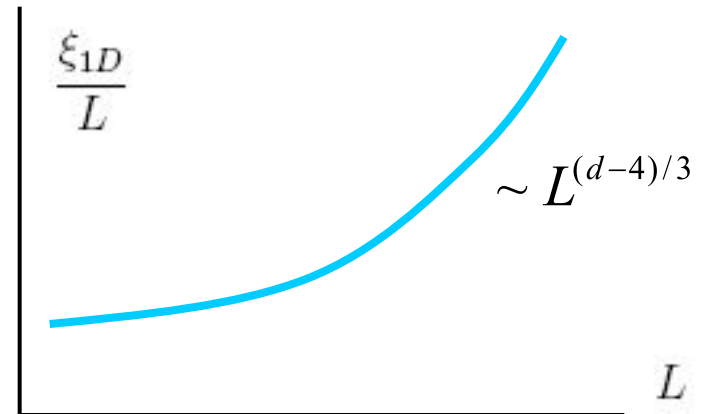
Поведение в точке перехода
для «стандартного»
скейлингового параметра

$$\frac{\xi_{1D}}{L} \sim \left(\frac{L}{a}\right)^{(d-4)/3}, \quad d > 4$$

$$\frac{\xi_{1D}}{L} \sim \left(\ln \frac{L}{a}\right)^{1/3}, \quad d = 4$$

$$\frac{\xi_{1D}}{L} = \left[\frac{1 - (L/a)^{-\epsilon}}{\epsilon}\right]^{1/3}, \quad d = 4 - \epsilon$$

$$L_0 \sim a \exp\{\text{const}/\epsilon\}$$



Другие варианты конечно-размерного скейлинга

$$Q = F\left(\frac{L}{\xi}\right)$$

1. Квазиодномерные системы
2. Статистика уровней
3. Распределение кондактансов
4. Средний кондактанс
5. Параметр Таулеса («ускорение уровней»)
6. Inverse participation ratios

$$\frac{\xi_{1D}}{L} = y^* + \tau \left\{ A_0 L^{1/\nu} + A_1 L^{\omega_1} + A_2 L^{\omega_2} + \dots \right\} + B_1 L^{-y_1} + B_2 L^{-y_2} + \dots$$

$$\frac{\xi_{1D}}{L} - y^* = A\tau (L + L_0)$$

Статистика уровней

I.Kh.Zharekeshev, B.Kramer,
PRL, 79, 717 (1997)

Размеры до 100^3

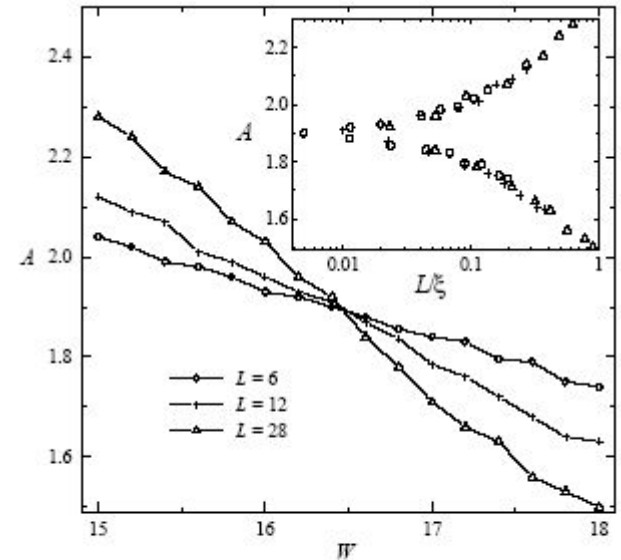


FIG. 4. Scaling variable A as a function of the disorder W for different L , showing critical behavior near the MIT. Inset: the one-parameter dependence of A on $L/\xi(W)$.

validity of (7). As one can see in Fig. 4 of [20], dependence Q on τ is only approximately close to linear, but in fact it is an essentially broken line. To demonstrate a situation, we give in a Table an average slope of dependence Q on τ and its fluctuations in the interval $16 < W < 17$, which corresponds to a condition $\tau(L/a)^{1/\nu} \lesssim 1$.

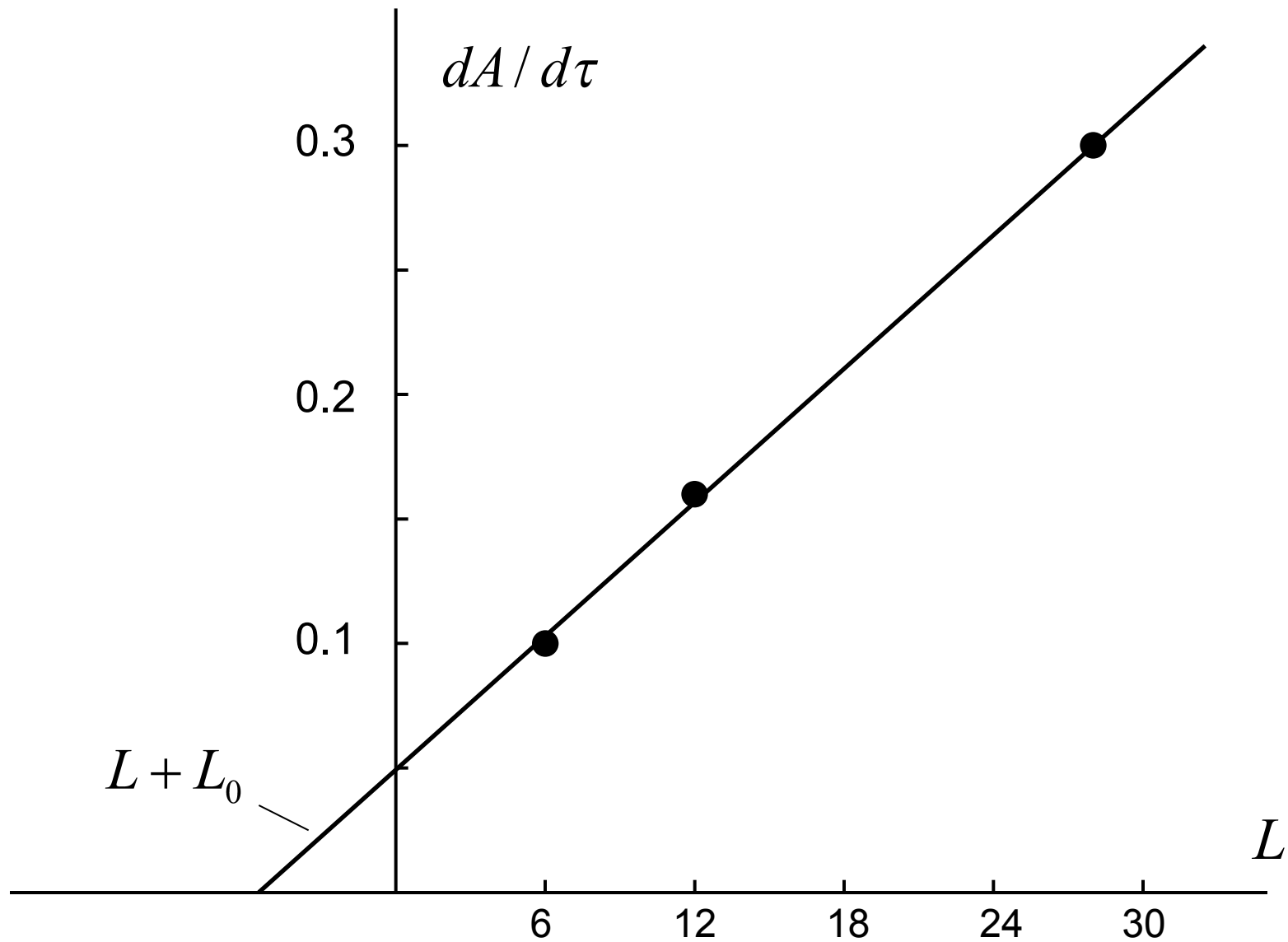
Table

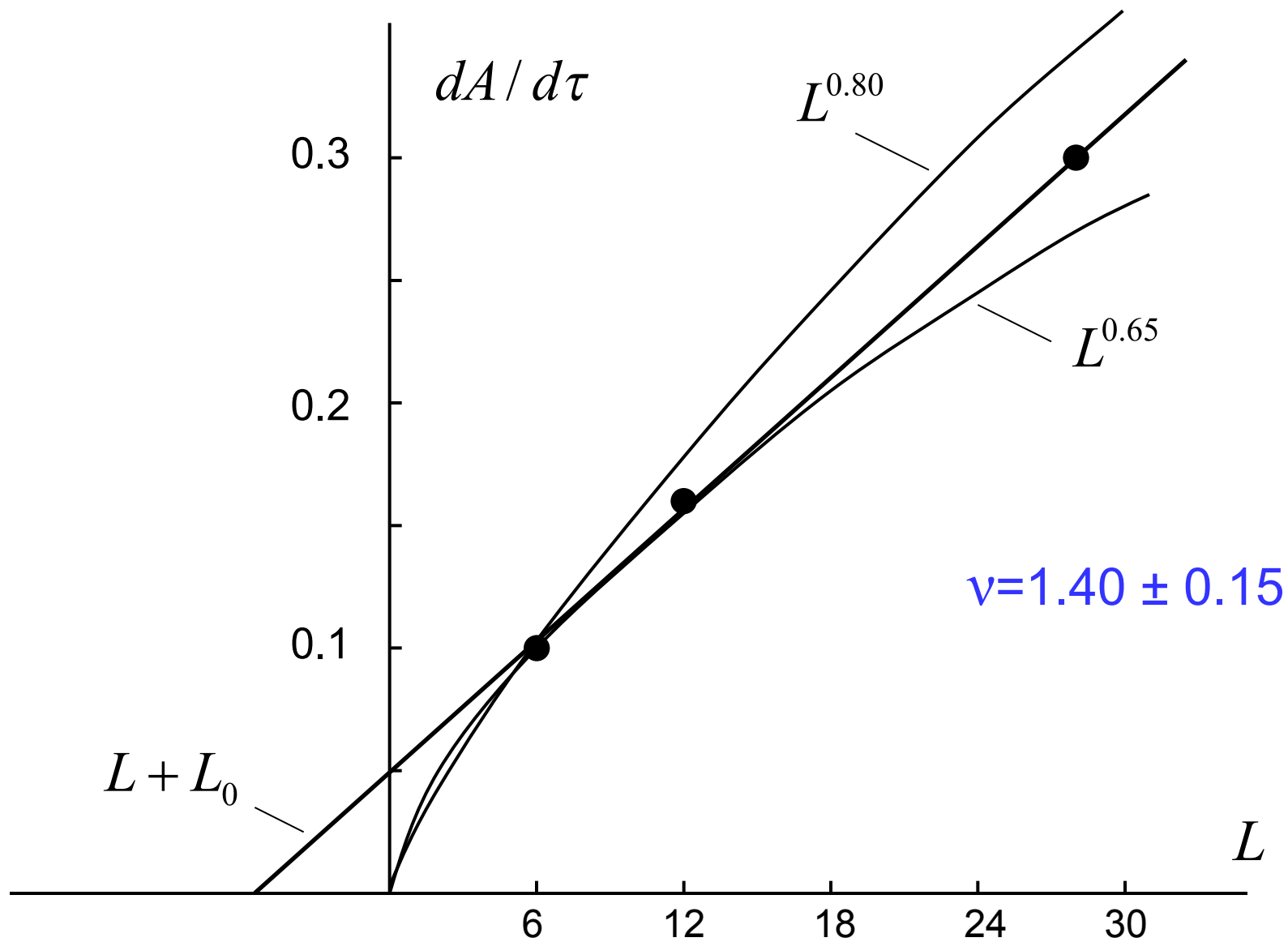
Slope of dependence Q on τ (arbitrary units)

	$L = 28$	$L = 12$	$L = 6$
Average value	0.30	0.16	0.10
Least value for $16 < W < 17$	0.20	0.10	0.04
Largest value for $16 < W < 17$	0.42	0.25	0.12

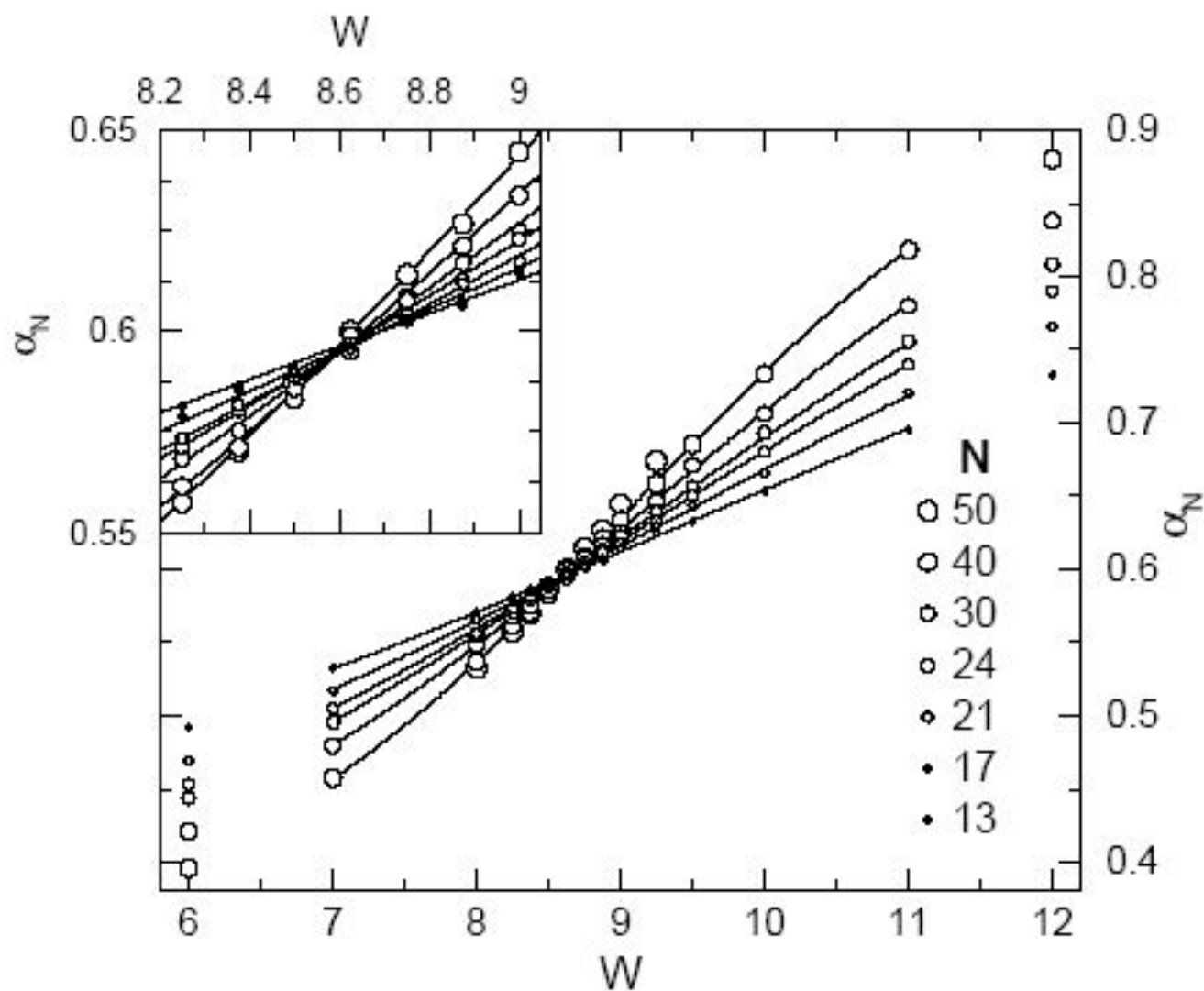
I.M.Suslov,
cond-mat/0105325

With the use of the average slope, we indeed obtain $\nu \approx 1.4$, as it was reported in [20]. With real uncertainties taken into account, we can have any value of ν in the interval $0.7 \div 3.0$. Authors of [20] give essentially smaller error, relying on the averaging procedure.

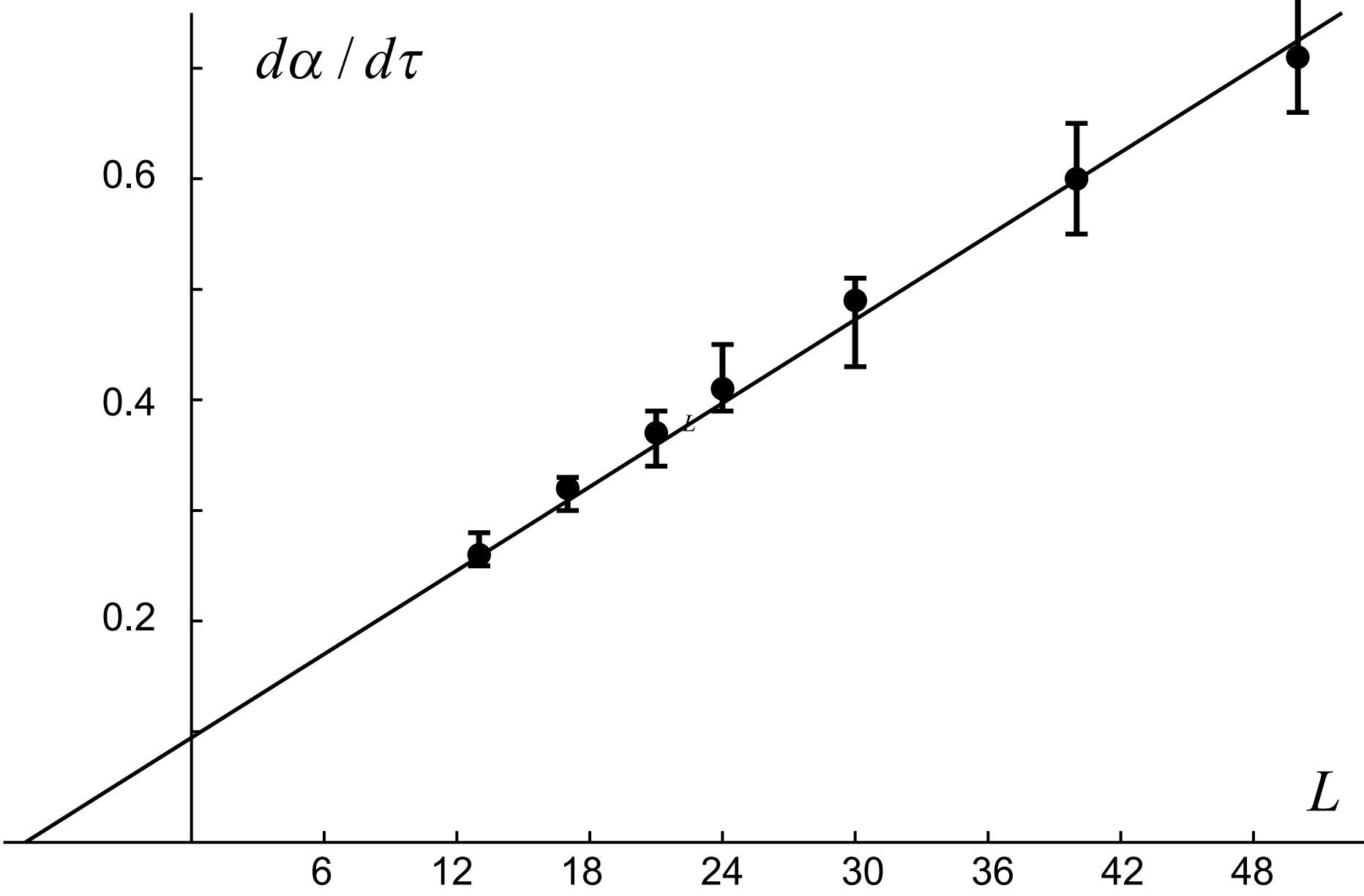




F. Milde, R. A. Romer, M. Schreiber, Phys. Rev. B **61**, 6028 (2000).

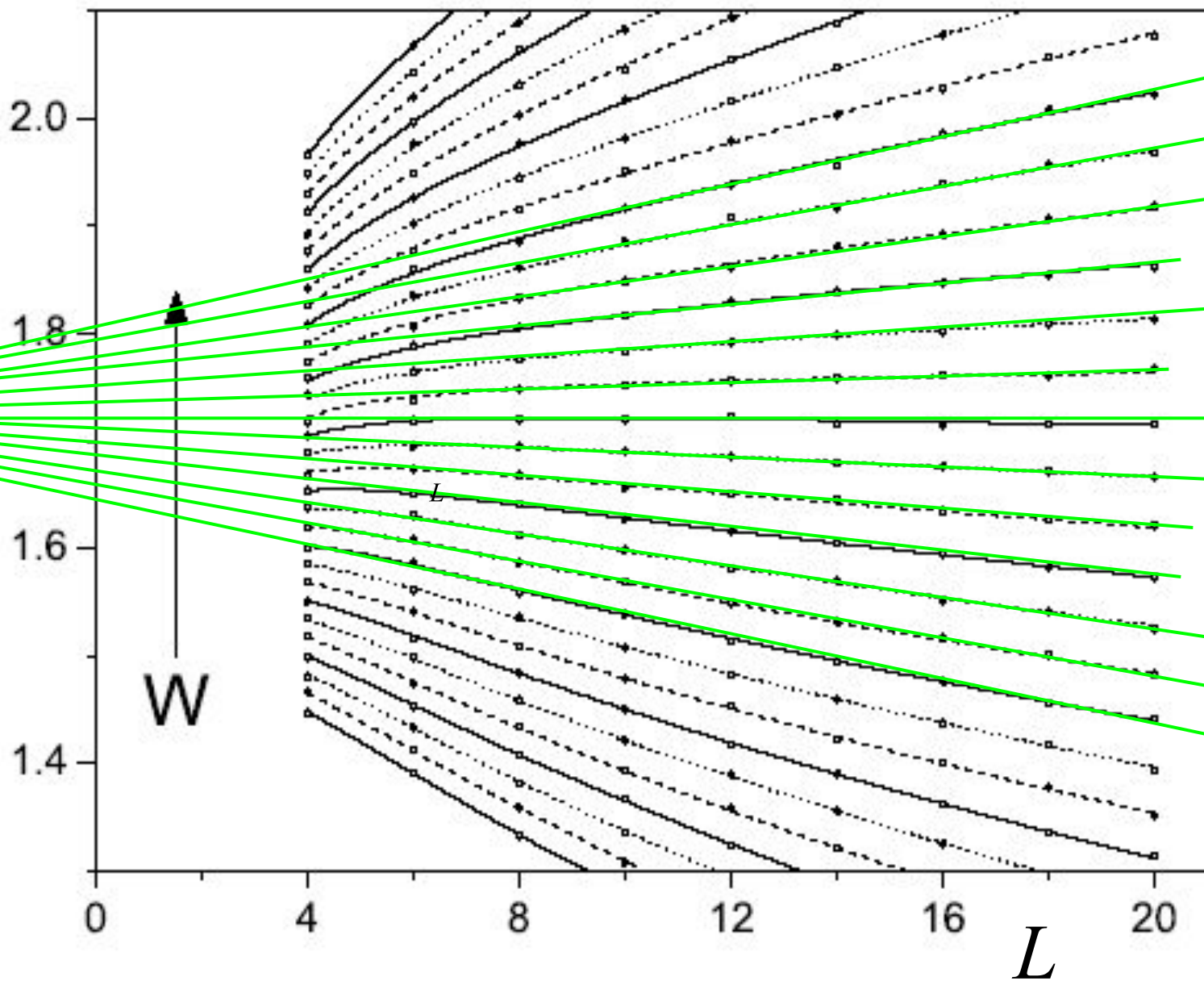


$d\alpha / d\tau$



L

L / ξ_{1D}



B.Kramer et al, 2010

$\nu = 1.57 \pm 0.02$